Silyl- und phosphinosubstituierte Methane:

Präparative und strukturelle Untersuchungen zur Steuerung des Reaktionsverhaltens ambidenter Phosphinomethanide

Silyl and Phosphino Substituted Methanes: Synthetic and Structural Investigations of the Reactivity of Ambidentate Phosphinomethanides

Hans H. Karsch*, Roland Richter, Brigitte Deubelly, Annette Schier, Martin Paul, Maximilian Heckel, Klaus Angermeier, Wolfgang Hiller

Anorganisch-chemisches Institut der Technischen Universität München, Lichtenbergstraße 4, D-85747 Garching

Prof. Dr. H. Schmidbaur zum 60. Geburtstag gewidmet

Z. Naturforsch. 49b, 1798-1808 (1994); eingegangen am 16. Mai 1994

Lithium Phosphinomethanides, Heteroelement Substituted Methanes, Phosphinomethyl Silanes

LiCH(PMe₂)₂ reacts with SiCl₄ or with PhR₂SiCl (R = Me, Ph) *via* the carbanion to give silyl substituted phosphino methanes; Cl₂Si[CH(PMe₂)₂]₂ (**3**) or PhR₂Si[CH(PMe₂)₂] (**4**) (R = Me) and (**5**) (R = Ph), respectively. **4** and **5** are deprotonated by "BuLi to give trimeric [Li[C(PMe₂)₂(SiMe₂Ph)]]₃ (**6**) and in the precence of TMEDA, monomeric [Li[C(PMe₂)₂(SiMe₂Ph)]]·TMEDA (**7**) or [Li[C(PMe₂)₂(SiPh₃)]]·TMEDA (**8**), respectively. [Li[C(PMe₂)(SiMe₃)₂]]₂·TMEDA reacts with R₂SiCl₂ (R = Me, Cl) *via* both the carbanion, thus generating a tetraheteroatom substituted methane moiety and, in a second substitution step, *via* phosphorus, thus generating an ylidic moiety. The obtained compounds (Me₃Si)₂(PMe₂)C-SiR₂-PMe₂=C(SiMe₃)₂ (**9**) (R = Me) and (**10**) (R = Cl) are structurally characterized by X-ray crystallography as well as compounds **3**, **5**, **6** and **7**. The observed variations in bond lengths and angles are explained to be mainly due to steric congestion. The ambidentate nature of phosphinomethanides thus clearly can be influenced by the nature of their carbanion substituents.

1. Einleitung

Das ambidente Koordinationsverhalten von Mono- und Diphosphinomethaniden (I, II) ist

durch die Konkurrenz der Phosphan- bzw. Carbanionfunktion um das Koordinationszentrum gekennzeichnet, wie es für Monophosphinomethanide in Gl. (1) skizziert ist. Für Diphosphinomethanide ergeben sich naturgemäß noch weit mehr Möglichkeiten [1].

$$[R_2\overline{P} - \overline{C}(X)(Y)]^{\Theta} + M^{\Theta} \longrightarrow R_2P - C(X)(Y)$$

$$R_2P - C(X)(Y) \qquad (1)$$

$$R_2P - C(X)(Y) \qquad M$$

Die seit einiger Zeit durchgeführten, systematischen Untersuchungen an diesem Ligandsystem zeigen, daß die Nucleophilie am Carbanion durch elektronische, aber auch durch sterische Effekte beeinflußt werden kann. Die Einführung zusätzlicher Dimethylphosphino- oder Trialkylsilylgruppen setzt die Reaktivität gegenüber Elektrophilen am Kohlenstoff deutlich herab. Während bei der Umsetzung von Me₃SiCl mit LiCH₂PMe₂ nur die Koordination über das Carbanion an das Zentralatom beobachtet wird (Gl. (2)) [2], führt die analoge Reaktion von Me₃SiCl mit dem hochsubsti-

Sonderdruckanforderungen an Prof. Dr. Hans H. Karsch.

$$\begin{aligned} &\text{Me}_3 \text{SiCl} + \text{LiCH}_2 \text{PMe}_2 & -\text{LiCl} & \text{Me}_3 \text{SiCH}_2 \text{PMe}_2 & (2) \\ &\text{Me}_3 \text{SiCl} + \text{LiC}(\text{PMe}_2)_2 \text{SiMe}_3 & -\text{LiCl} & \text{Me}_3 \text{Si} - \text{P}_A \text{Me}_2 = \text{C} \\ &\text{SiMe}_3 & \text{SiMe}_3 & \text{SiMe$$

tuierten LiC(PMe₂)₂SiMe₃ zur Bildung eines Ylids (Gl. (3)) [3], in dem der Ligand über die Phosphinogruppe an das Silizium gebunden ist. Dieses Ylid ist in Lösung fluktuierend, d.h. die SiMe₃-Gruppe unterliegt einem raschen Platzwechsel P_A/P_B , vermutlich über einen η^5 -Si-Übergangszustand.

Siliziumsysteme sind in diesem Zusammenhang von mehrfachem Interesse:

- wechselnde Koordinationszahlen am Silizium werden z. Zt. intensiv untersucht und sind u.a. für mechanistische Betrachtungen wichtig [4]
- Si-P-Kombinationen sind reaktiv und erlauben vielfache Derivatisierungen
- Silylgruppen kommt Modellcharakter als elektrophile Zentren zu
- auf Grund der hohen Polarisierbarkeit von Diphosphinomethaniden sind sogar Si(II)-Verbindungen zugänglich [5].

Um die verschiedenen Substituenteneinflüsse beider Reaktionspartner, der Phosphinomethanide sowie der Si-Koordinationszentren zu erfassen, galt es, die Vielzahl phosphinomethanid-substituierter Silizium(IV)-Verbindungen mit weiteren Beispielen zu vervollständigen. Dabei soll an dieser Stelle der Schwerpunkt auf vierfach koordinierte Siliziumsysteme gelegt werden, obwohl auch höherkoordinierte Verbindungen strukturell charakterisiert werden konnten [6]. Über Darstellung und Struktur des trimeren Lithiumphosphinomethanids 6 wurde bereits in einer Kurzmitteilung berichtet [7].

2. Ergebnisse

2.1.1. Umsetzung von $SiCl_4$ mit $LiCH(PMe_2)_2$ (1)

Gemäß Gl. (4) reagiert Siliziumtetrachlorid mit zwei Äquivalenten 1 zum Bis[bis(dimethylphosphino)methyl]dichlorsilan (3), wobei die Liganden ausschließlich über den Kohlenstoff an das Sili-

$$SiCl_4 + 2 LiCH(PMe_2)_2 \xrightarrow{-2 LiCl} Cl_2Si[CH(PMe_2)_2]_2$$
 (4)

zium gebunden sind. Auch ein Unterschuß an Phosphinomethanid führt ausschließlich zu 3. Ebenso lassen sich durch Einsatz von drei und vier Äquivalenten Phosphinomethanid keine weiteren Phosphinomethanidliganden an das Siliziumzentrum binden. Das {1H}31P-NMR-Spektrum des farblosen Feststoffs weist bei 25 °C nur ein Signal bei -44,48 ppm auf und liegt damit im typischen Bereich für dreifach heteroelement substituierte Methane (siehe Tab. I). Erst bei −100 °C spaltet dieses Signal in zwei breite, intensitätsgleiche Resonanzen auf (-36,94 und -44,24 ppm), wobei die P-P-Kopplung nicht aufgelöst werden kann. Diese Aufspaltung wird vermutlich durch das "Einfrieren" der freien Drehbarkeit um die P-C-Bindung verursacht, die zu zwei durch ihre unterschiedliche Rotationsstellung magnetisch nicht äquivalente Phosphoratomen führt [8, 9]. Dies konnte durch eine Röntgenstrukturanalyse bestätigt werden.

2.1.2. Molekülstruktur von 3

Die relevanten Strukturinformationen sind Abb. 1 zu entnehmen. Alle Bindungslängen sind im charakteristischen Bereich für Einfachbindungen. Besonderheiten sind vorwiegend den sterischen Gegebenheiten zuzuschreiben. Dabei sind die Si-C(1,2)-Bindungslängen mit 1,863(2) Å und 1,867(3) Å im Gegensatz zu den entsprechenden P-C(1,2)-Bindungen kaum aufgeweitet. Letztere erfahren eine unterschiedliche Aufweitung: die der zur SiCl2-Gruppe "cis-ständigen" PMe2-Gruppen (1,860(3) Å; 1,866(3) Å) sind dabei gegenüber den "trans-ständigen" PMe2-Gruppen (1,884(2) Å; 1,882(3) Å) geringfügig verkürzt. Der Vergleich mit den kürzeren P-C-Abständen der Phosphinomethylgruppen (Mittelwert: 1,836 Å) belegt die hohe sterische Belastung an den C(1)/C(2)-Atomen. Hierzu paßt auch der kleine Winkel Cl(1)-Si-Cl(2) (104,36(4)°). An allen Phosphoratomen liegen die CPC-Winkel (Mittelwert: 101,7°) im typischen Bereich für Methylphos-

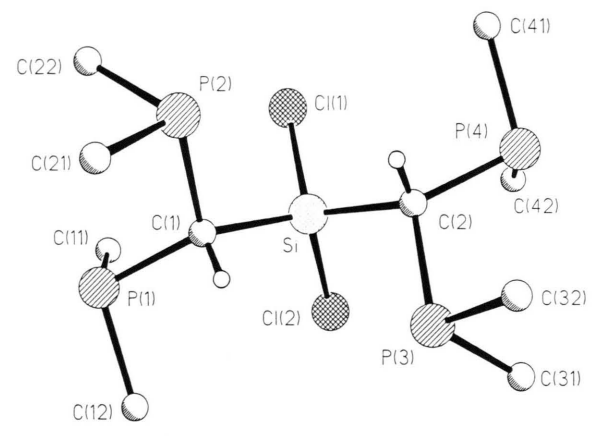


Abb. 1. Molekülstruktur von 3. Die H-Atome an den Dimethylphosphinogruppen sind auf Grund der besseren Übersichtlichkeit weggelassen. Wichtige Bindungslängen [Å] und Winkel [°]: Si-Cl(1) 2,063(1), Si-Cl(2) 2,0619(9); C(1)-Si-Cl(1)108,41(9), C(1)-Si-Cl(2)113,19(8), C(2)-Si-Cl(1) 113,45(8), C(2)-Si-Cl(2)107,09(9). Si-C(1)-P(1)124,2(1),Si-C(1)-P(2)105,9(1), 105,9(1),Si-C(2)-P(3)Si-C(2)-P(4)124,7(1), P(1)-C(1)-P(2) 114,6(1), P(3)-C(2)-P(4)114,2(1). Weitere Daten siehe Text.

phane. Die Rotationsstellung der PMe₂-Gruppen minimiert sowohl die Kontakte der Cl-Substituenten mit den freien Elektronenpaaren an den Phosphoratomen als auch die der letzteren untereinander. Darüber hinaus entspricht der C(1)-Si-C(2)-Winkel (110,3(1)°) den Erwartungswerten.

2.2.1. Umsetzung von $PhR_2SiClmitLiCH(PMe_2)_2$ (1)

Ebenfalls C-Koordination des Phosphinomethanidliganden an das Siliziumzentrum wird bei der Reaktion von Dimethylphenylchlorsilan und sogar von Triphenylchlorsilan mit 1 beobachtet.

4 wird als luftempfindliche, farblose Flüssigkeit isoliert, während 5 aus Pentan in Form von farblosen Kristallen erhalten werden kann. Die {\bar{1}H}^{31}P-NMR-Resonanzen für 4 und 5 liegen im Erwartungsrahmen für trisubstituierte Phosphinomethane und können Tab. I entnommen werden.

Der Ersatz von Methyl- durch die sterisch anspruchsvolleren Phenylsubstituenten an den Silylgruppen führt ebenso, aber in geringerem Maße, zu einer Tieffeldverschiebung wie der an den

Tab. I. {¹H}³¹P-NMR-Daten der Phosphinomethane **3, 4** und **5,** sowie Vergleichsverbindungen.

Trisubst. Methane	δP	Lit.
(Me ₂ P) ₂ (Ph ₃ Si)CH (5)	-40,93	a
(Me ₂ P) ₂ (PhMe ₂ Si)CH (4)	-42,96	a
(Me ₂ P) ₂ (Me ₃ Si)CH	-44,87	[10]
(Ph ₂ P) ₂ (Me ₃ Si)CH	-12,28	[11]
SiCl ₂ [(Me ₂ P) ₂ CH] ₂ (3)	-44,48	a
(Me ₂ P)(Me ₃ Si) ₂ CH	-42,22	[10]
(Me ₂ P) ₃ CH	-48,10	[10]

a Diese Arbeit.

Phosphinogruppen. Andererseits verursachen Silylgruppen eine größere Tieffeldverschiebung als Phosphinogruppen.

2.2.2. Molekülstruktur von 5

Die an 5 durchgeführte Röntgenstrukturanalyse erweist wie bei 3 die Dominanz sterischer Einflüsse. Die wichtigsten Strukturinformationen sind in Abb. 2 aufgeführt. Auch hier sind die Bindungslängen im charakteristischen Bereich für die jeweiligen Einzelbindungen, jedoch sind die P-C(1)-Bindungslängen aus sterischen Gründen wieder deutlich größer als die übrigen P-C-Abstände. Auf Grund der unterschiedlichen Rotationsstellungen der PMe₂-Gruppen werden für

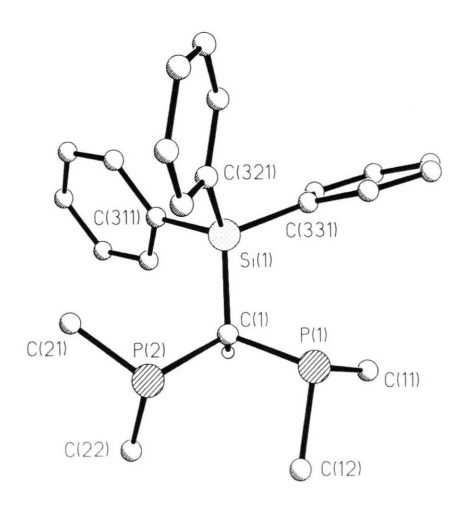


Abb. 2. Molekülstruktur von **5.** Die H-Atome an den Dimethylphosphinogruppen sind auf Grund der besseren Übersichtlichkeit weggelassen. Wichtige Bindungslängen [Å] und Winkel [°]: P(1)-C(1) 1,876(3), P(2)-C(1) 1,874(3), P(1)-P(1) 1,891(3), P(1)-P(1) 1,885(3), P(1)-P(1) 1,881(3), P(1)-P(1) 1,884(3). Weitere Daten siehe Text.

P(2)-C(1)-Si(1) (117,0(2)°) und P(1)-C(1)-Si(1) (111,8(1)°) deutlich verschiedene Winkel beobachtet. Der P(1)-C(1)-P(2)-Winkel ist wegen der sperrigen Ph_3Si -Gruppe mit 108,7(1)° im Vergleich zu 3 (114,2(1) bzw. 114,6(1)°) verkleinert. An den beiden Phosphoratomen liegen die CPC-Winkel mit dem Mittelwert von 100,9° im typischen Bereich für Methylphosphane.

2.3. Metallierungen von 4 und 5 mit ⁿBuLi mit und ohne Anwesenheit eines Coliganden

Durch direkte Metallierung mit "BuLi in Hexan kann Lithium-bis(dimethylphosphino)(phenyldimethylsilyl)methanid (6) in Form farbloser Kristalle isoliert werden.

6 ist erst das zweite Beispiel eines kristallinen Lithiumphosphinomethanids ohne Coliganden [12]. Das in unpolaren Lösungsmitteln gut lösliche 6 zeigt im {1H}31P-NMR-Spektrum bei Raumtemperatur ein breites Signal bei -25,70 ppm. Erst bei -100 °C wird die Li-P-Kopplung ohne nennenswerte Veränderung der chemischen Verschiebung aufgelöst: Durch die 1:1:1:1-Quartettaufspaltung der Phosphorresonanz und eine 1:2:1-Triplettaufspaltung der 7 Li-Resonanz ($^{1}J(PLi) =$ 51,8 Hz) wird das Vorliegen einer Vierring-Chelat-Einheit ausgewiesen. Eine Röntgenstrukturanalyse belegt das bei Lithiumphosphinomethaniden bis jetzt unbekannte Vorliegen von Trimeren. Wie 4 läßt sich auch 5 glatt mit "BuLi metallieren. Der erhaltene gelbe Feststoff Li[C(PMe₂)₂(SiPh₃)] (8) ist allerdings schwer löslich, so daß eine spektroskopische Identifizierung nicht gelang. Zusatz von TMEDA führt zur Bildung des zu 7 analogen TMEDA-Addukts 8a mit guter Löslichkeit in Toluol.

Wird 6 mit TMEDA bei +60 °C in Toluol umgesetzt, können die Li-C-Bindungen des Trimeren aufgebrochen werden und es entsteht das monomere TMEDA-Addukt 7 in Form farbloser Kristalle.

Im Gegensatz zum Coligand-freien Komplex **6** kann hier im $\{^{1}H\}^{31}P$ -NMR-Spektrum ($\delta = -26,30$)

bereits bei Raumtemperatur eine Li-P-Kopplung (55,6 Hz) beobachtet werden. Das $\{^1H\}^{31}$ P-NMR-Spektrum von **8a** zeigt die für Phosphinomethanide typische Quartettaufspaltung der Phosphorresonanz bei -23,37 ppm (J=55,6 Hz). Dies spricht in Analogie zu **7** für das Vorhandensein eines monomeren TMEDA-Addukts mit einer Vierring-Chelat-Einheit und einem Lithiumatom im Spirozentrum.

2.3.2. Molekülstruktur von 6 [7]

Die relevanten Strukturinformationen sind Abb. 3 zu entnehmen. Die Li-Atome sind dabei primär dreifach koordiniert. Jedes Lithiumatom ist durch koordinative Bindung von zwei P-Atomen eines Bis(dimethylphosphino)(dimethylphenylsilyl)methanid-Gegenions und durch eine zusätzliche Bindung zum carbanionischen Zentrum eines benachbarten [C(PMe₂)₂(SiMe₂Ph)]-Ions umgeben. Die viergliedrigen LiPCP-Heterocyclen sind deutlich nicht planar: der Winkel zwischen den Ebenen, die durch P(11), Li(1), P(12) und P(11), C(1), P(12) aufgespannt werden, beträgt 29,3° (analog P(21), Li(2), P(22) und P(21), C(2), $P(22) = 31.8^{\circ}$; P(31), Li(3), P(32) und P(31), C(3), $P(32) = 22,1^{\circ}$). Die koordinativen Li-P-Bindungslängen variieren zwischen 2,564(8) Å und 2,641(7) Å, wobei sie im Erwartungsrahmen für dative Li-P-Bindungen liegen und keine signifikanten Unterschiede zu anderen Lithiumphosphinomethaniden zeigen [13].

Zwei der drei Li-Atome (Li(1) und Li(2)) sind darüber hinaus durch zusätzliche schwache Li-Phenyl-Kontakte abgesättigt. Wie bei den meisten Alkalimetallionen, bei denen eine Aren-Koordination diagnostiziert werden kann [14], sind auch

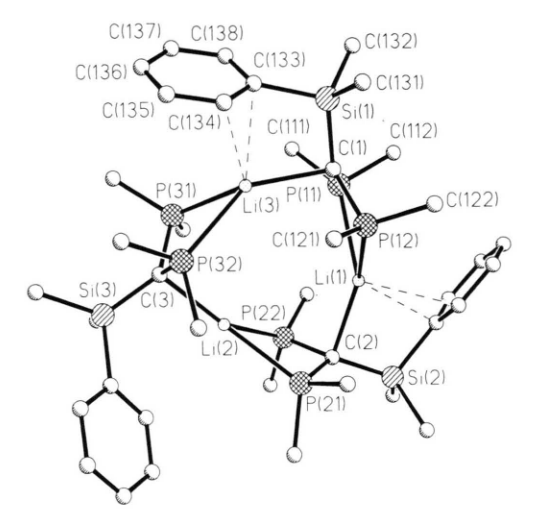


Abb. 3. Molekülstruktur von **6** (ohne H-Atome). Wichtige Bindungslängen [Å] und Winkel [°]: C(1)-P(11) 1,788(4), C(1)-P(12) 1,786(4), C(2)-P(21) 1,790(4), C(2)-P(22) 1,781(4), C(3)-P(31) 1,799(4), C(3)-P(32) 1,798(4), C(1)-Si(1) 1,851(4), C(2)-Si(2) 1,852(4), C(3)-Si(3) 1,847(4); P(11)-C(1)-P(12) 103,7(2), P(21)-C(2)-P(22) 103,5(2), P(31)-C(3)-P(32) 102,9(2), C(1)-P(11)-Li(1) 92,9(2), C(1)-P(12)-Li(2) 91,8(2), C(2)-P(22)-Li(2) 90,2(2), C(3)-P(31)-Li(3) 93,1(2), C(3)-P(32)-Li(3) 90,9(2). Weitere Daten siehe Text.

hier die Phenylreste nicht η^6 -koordiniert, sondern asymmetrisch η^2 -gebunden. Die Li-C-Abstände variieren hierbei zwischen 2,565(8) und 2,706(9) Å. Dabei ist die Wechselwirkung zwischen den π -Elektronen des Aromaten und den Li-Atomen so schwach, daß keine nennenswerte Faltung der Phenylringe beobachtet werden kann. Darüber hinaus liegen die Si-Atome exakt in der Phenylringebene.

Der dritte Phenylring zeigt keine Koordination an Li(2), die Si(3)Me₂Ph-Gruppe ist im Gegensatz zu den beiden anderen SiMe₂Ph-Gruppen aus der günstigsten Koordinationsstellung herausgedreht. Auch intermolekulare Wechselwirkungen werden nicht beobachtet. Das Fehlen dieses Kontaktes macht sich vor allem in einem verkürzten Li(2)–C(3)-Bindungsabstand (2,208(9) Å) bemerkbar (Li(1)–C(2) = 2,260(8) Å und Li(3)–C(1) = 2,298(8) Å), während die Li–P-Abstände keine eindeutige Aussage zulassen. Damit ergibt sich für Li(2) die für Lithium eher seltene Koordinationszahl drei [15].

Insgesamt nähert sich die durch das Carbanion und zwei Phosphoratome geprägte Umgebung der

Lithiumatome in **6**, im Gegensatz zu der in dem Dimeren {Li[C(PMe₂)(SiMe₃)₂]}₂ [12], einer planaren Anordnung, was die Ringvergrößerung zum Trimeren begünstigt (Winkelsumme an Li(1): 345,1°; Li(2): 357,5°; Li(3): 340,5°; dagegen in {Li[C(PMe₂)(SiMe₃)₂]}₂: 300,5°).

2.3.2. Molekülstruktur von 7

Mit dem zweizähnigen Donor TMEDA kristallisiert 7 unter Ausbildung einer monomeren, planaren Vierring-Chelat-Einheit ohne Li-C-Kontakte. Die relevanten Strukturinformationen sind Abb. 4 zu entnehmen. Der planare Kohlenstoff C(1) des Phosphinomethanids (Winkelsumme: 359,9°) ist von einem Silizium und zwei Phosphoratomen umgeben, wobei die P-C-Bindungslängen zwischen Einfach- und Doppelbindungen liegen (1,768(6) bzw. 1,767(6) Å). Die koordinativen Li-P-Bindungslängen betragen 2,51(1)/2,54(1) Å und sind damit im Vergleich zum sterisch stärker belasteten 6 kaum verkürzt. Der P(11)-Li(1)-P(12)-Winkel ist mit 68,4(3)° um ungefähr 3° größer als der in 6 (65,5°). Der Phenylring zeigt keine Koordination zum Lithiumatom. Die Bindungslänge Si(1)–C(133) beträgt dabei 1,902(7) Å und ist damit ebenso groß wie in 6 (1,899(4) Å). Dies ist ein weiteres Indiz dafür, daß die in 6 beobachteten Arenkontakte nur sehr schwach sind. Insgesamt läßt sich 7 damit in eine Reihe strukturanaloger

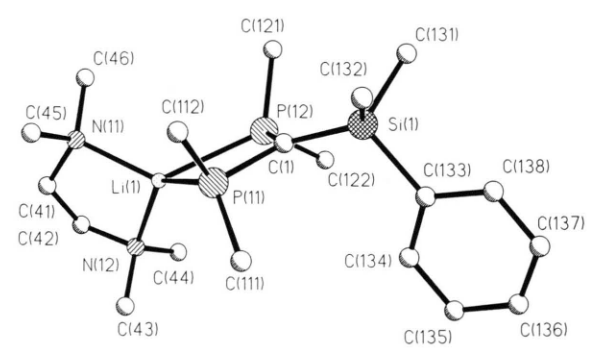


Abb. 4. Molekülstruktur von 7 (ohne H-Atome). Wichtige Bindungslängen [Å] und Winkel [°]: P(11)-Li(1) 2,51(1), P(12)-Li(1) 2,54(1), Si(1)-C(1) 1,810(6), Li(1)-N(11) 2,04(1), Li(1)-N(12) 2,03(1); C(1)-P(11)-Li(1) 92,8(3), C(1)-P(12)-Li(1) 91,9(3), N(11)-Li(1)-N(12) 88,5(5), N(11)-Li(1)-P(11) 122,6(6), N(12)-Li(1)-P(11) 133,2(6), N(11)-Li(1)-P(12) 127,6(5), N(12)-Li(1)-P(12) 122,2(6), P(11)-C(1)-P(12) 107,0(3), P(11)-C(1)-Si(1) 126,4(3), P(12)-C(1)-Si(1) 126,5(3). Weitere Daten siehe Text.

$$R_{2}SiCl_{2} + \{Li[C(PMe_{2})(SiMe_{3})_{2}]\}_{2} TMEDA$$

$$-2 LiCl$$

$$(Me_{3}Si)_{2}(Me_{2}P_{B})C - SiR_{2} - P_{A}Me_{2} = C(SiMe_{3})_{2}$$

$$R = Me 9$$

$$R = Cl 10$$

Verbindungen (TMEDA)Li[$CX(PR_2)_2$] (X = H, SiMe₃; R = Me, Ph) [16] stellen.

2.4.1. Umsetzung von R_2SiCl_2 mit $\{Li[C(PMe_2)(SiMe_3)_2]\}_2 \cdot TMEDA$ (2)

Eine Erhöhung des Raumanspruchs des Phosphinomethanids durch Verwendung von $\mathbf 2$ sollte die Grenzen der sterischen Belastbarkeit aufzeigen und die eindeutige Bevorzugung des Carbanions als Nucleophil möglicherweise aufheben. Tatsächlich werden bei der Umsetzung von R_2SiCl_2 (R=Cl bzw. Me) mit $\mathbf 2$, erstmals für Monophosphinomethanide, neben einer C- auch eine P-Koordination an das zentrale Si-Atom beobachtet. Die Verbindungen $\mathbf 9$ und $\mathbf 10$ können als kristalline Feststoffe aus Pentan isoliert werden (Gl. (8)).

Schon bei der früher beschriebenen Reaktion von 2 mit Me₃SiCl konnte gezeigt werden, daß prinzipiell beide Koordinationsmöglichkeiten bestehen. Man erhält dabei das Ylid 11 und das dazu isomere Methan 12 im Verhältnis 1:1 [3].

Das ${}^{1}H{}^{31}P\text{-NMR-Spektrum von 9}$ zeigt ein AB-System ($\delta P_{\rm A}=-9.81$ und $\delta P_{\rm B}=-27.64$; $J(P_{\rm A}P_{\rm B})=4.3$ Hz). Auch für 10 werden zwei Phosphorresonanzen ($\delta P_{\rm A}=-1.25$ und $\delta P_{\rm B}=-33.07$) beobachtet, wobei keine Kopplung auftritt. Wie man aus Tab. II entnehmen kann, sind die beobachteten Verschiebungen für die $P_{\rm B}$ -Kerne im Einklang mit der aufgeführten Vergleichsverbindung

12 [3]. Demgegenüber sind die für P_A erhaltenen chemischen Verschiebungen im Vergleich zu 11 deutlich zu tiefem Feld verschoben. Dies kann als Hinweis auf die große sterische Belastung an P_A verstanden werden.

Da bis jetzt kaum strukturelle Daten über vierfach heteroatom-substituierte Monophosphinomethane sowie P-silyl-substituierte Phosphorylide bekannt sind, wurden von 9 und 10 Röntgenstrukturanalysen durchgeführt.

2.3.2. Molekülstruktur von 9 und 10

Die jeweiligen Strukturinformationen sind Abb. 5 (9) und Abb. 6 (10) zu entnehmen. Aus beiden Kristallstrukturen lassen sich nahezu identische Molekülstrukturdaten entnehmen. Der einzige bemerkenswerte Unterschied ist der etwas kürzere Si(3)-C(2)-Bindungsabstand in 10 mit 1,886(2) Å (9: 1,923(4) Å), der vermutlich in der höheren Elektrophilie des SiCl2-Fragments im Vergleich zur SiMe₂-Gruppe begründet liegt. Ein analoger Einfluß wird allerdings bei den in 9 und 10 identischen Si(3)-P(1)-Abständen (2,367 Å) nicht beobachtet. Der planare Ylid-Kohlenstoff C(1) (Winkelsumme: 359,9°) ist neben dem Phosphoratom von zwei Trimethylsilylgruppen umgeben. Entsprechend der Ylid-Natur sind die P(1)-C(1)-Bindungslängen (9: 1,693(4) Å; 10: 1,680(2) Å) im Vergleich zu der entsprechenden Einfachbindung verkürzt. Der tetraedrische Kohlenstoff C(2) ist von einem P- und drei Si-Atomen umgeben. Sowohl die Si-C(2)-Bindungslängen (9: 1,908(4)/1,931(5) Å; 10: 1,926(3)/1,947(2) Å), als auch die P(2)-C(2)-Bindungslängen (9: 1,875(4) Å; **10:** 1,889(2) Å) sind deutlich aufgeweitet. Es fällt auf, daß jeweils die zu den Substi-

Verbindung	δP_{A}	$\delta P_{\rm B}$
$\begin{array}{c} \hline \\ (Me_3Si)_2(Me_2P_B)C - SiMe_2 - P_AMe_2 = C(SiMe_3)_2 \ (\textbf{9}) \\ (Me_3Si)_2(Me_2P_B)C - SiCl_2 - P_AMe_2 = C(SiMe_3)_2 \ (\textbf{10}) \\ SiMe_3 - P_AMe_2 = C(SiMe_3)_2 \ (\textbf{11}) \\ (Me_2P_B)C(SiMe_3)_3 \ (\textbf{12}) \\ \end{array}$	- 9,81 - 1,25 -24,49	-27,64 -33,07 - -26,79

Tab. II. {\bar{1}H}\begin{align*}^{1}P-NMR-Daten für **9** und **10**, sowie die Vergleichsverbindungen **11** und **12**.

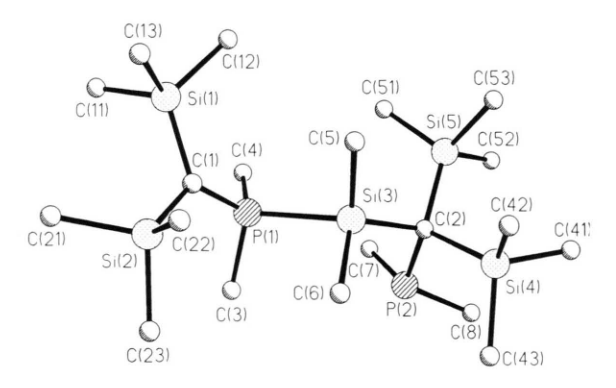


Abb. 5. Molekülstruktur von **9** (ohne H-Atome). Wichtige Bindungslängen [Å] und Winkel [°]: Si(1)-C(1) 1,844(4), Si(2)-C(1) 1,848(5), Si(3)-C(5) 1,872(5), Si(3)-C(6) 1,885(5); C(1)-P(1)-Si(3) 111,0(2), C(5)-Si(3)-C(2) 112,0(2), C(6)-Si(3)-C(2) 111,7(2), C(5)-Si(3)-P(1) 100,4(2), C(6)-Si(3)-P(1) 98,5(2), P(1)-C(1)-Si(1) 121,1(3), P(1)-C(1)-Si(2) 124,5(2), Si(1)-C(1)-Si(2) 114,3(2), P(2)-C(2)-Si(5) 111,7(2), P(2)-C(2)-Si(3) 108,2(2), Si(3)-C(2)-Si(5) 109,6(2), P(2)-C(2)-Si(4) 108,8(2), Si(4)-C(2)-Si(5) 110,2(2), Si(3)-C(2)-Si(4) 108,2(2). Weitere Daten siehe Text.

tuenten am zentralen Si(3)-Atom "cis-ständigen" Trimethylsilylgruppen etwas vergrößerte Bindungslängen besitzen. Die sterische Belastung

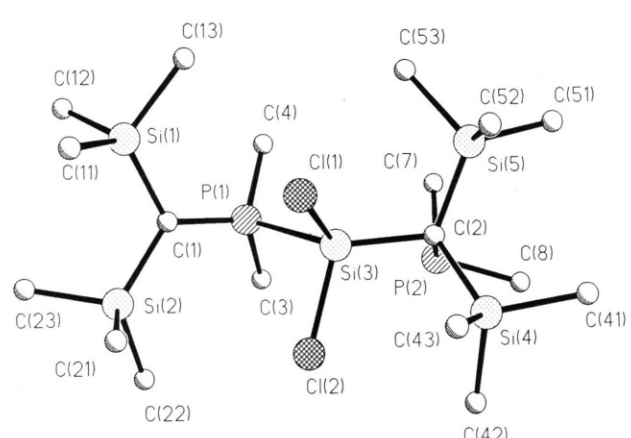


Abb. 6. Molekülstruktur von **10** (ohne H-Atome). Wichtige Bindungslängen [Å] und Winkel [°]: Si(1) – C(1) 1,852(3), Si(2) – C(1) 1,846(3),Si(3) – Cl(1) 2,066(1), Si(3) – Cl(2), 2,075(1); C(1) – P(1) – Si(3) 111,9(1), Cl(2) – Si(3) – C(2) 110,43(8), Cl(1) – Si(3) – C(2) 109,36(8), Cl(1) – Si(3) – P(1) 101,57(4), Cl(2) – Si(3) – P(1) 95,64(4), P(1) – C(1) – Si(1) 120,3(2), P(1) – C(1) – Si(2) 123,9(2), Si(1) – C(1) – Si(2) 115,4(1), P(2) – C(2) – Si(5) 118,3(1), P(2) – C(2) – Si(3) 98,5(1), Si(3) – C(2) – Si(5) 109,6(1), Si(3) – C(2) – Si(4) 107,4(1), Si(4) – C(2) – Si(5) 109,6(1), Si(3) – C(2) – Si(4) 109,5(1). Weitere Daten siehe Text.

am zentralen Si-Atom wird durch den großen P(1)-Si(3)-C(2)-Winkel (9: $125,5(2)^{\circ}$; 10: $132,74(8)^{\circ}$) und den kleinen C(5)-Si(3)-C(6)-(9: $106,6(3)^{\circ}$) bzw. Cl(1)-Si(3)-Cl(2)-Winkel (10: $103,1(2)^{\circ}$) dokumentiert.

3. Experimenteller Teil

3.1. Röntgenstrukturanalysen von 3, 5, 6, 7, 9 und 10

Die Daten zu den Röntgenstrukturbestimmungen sind in Tab. III zusammengefaßt. Alle röntgenographischen Untersuchungen wurden mit einem Vierkreisdiffraktometer CAD4 (Firma ENRAF-NONIUS) mit MoK_{α} -Strahlung (Graphitmonochromator) durchgeführt. Die verwendeten Programme zur Strukturbestimmung sind: CADSHEL [17a], DIFABS [17b], SHELXS-86 [17c], SHELXL-93 [17d] und SHELXTL-PLUS [17e]*.

3.2. Präparativer Teil

Alle Operationen werden in ausgeheizten Glasapparaturen unter sauerstoff- und wasserfreiem Stickstoff ausgeführt. Die Lösungsmittel werden nach den üblichen Methoden in Umlaufapparaturen getrocknet, mit Stickstoff gesättigt und vor Gebrauch destilliert. Elementaranalysen: Mikroanalytisches Labor der TU München, übliche Standardverfahren. – MS: Varian Modell MAT 311 A, EI, 70 eV. – NMR: FT-NMR-Spektrometer Jeol GX 270, GX 400 und Bruker WT 100 SY.

Die NMR-Spektren wurden in deuterierten, nach den bekannten Methoden getrockneten Lösungsmitteln aufgenommen. Die chemischen Verschiebungen verstehen sich nach der δ -Konvention, die Kopplungskonstanten J sind in Hz. Für Multipletts ("t", "q", "m") der $X_nAA'X_n'$ - bzw. AA'X-Spinsysteme wird N = Abstand der äußeren Linien angegeben. Die chemischen Verschiebungen der 1H - und ^{13}C -NMR-Spektren beziehen sich auf TMS als internen Standard. Für 29 Si-NMR-Messungen wird TMS, für 31 P-NMR-

^{*} Weitere Einzelheiten zu den Kristallstrukturuntersuchungen können beim Fachinformationszentrum Karlsruhe, Gesellschaft für wissenschaftlich-technische Informationen mbH, D-76344 Eggenstein-Leopoldshafen, unter Angabe der Hinterlegungsnummern (CSD 58299 für 3, 5, 7, 9 und 10) und CSD 57945 (6), sowie der Autoren und des Zeitschriftenzitats angefordert werden.

Tab. III a. Kristalldaten und Strukturverfeinerung für 3, 5 und 6.

Summenformel Molmasse Temperatur Wellenlänge Kristallsystem Raumgruppe Zelldimensionen	$C_{10}H_{26}Cl_2P_4Si$ 369,181 g/mol 199 K 0,71069 Å monoklin $P2_1/c$ a = 16,587(1) Å b = 8,005(1) Å c = 15,628(1) Å $\alpha = 90^{\circ}$ $\beta = 112,74(1)^{\circ}$ $\gamma = 90^{\circ}$	$C_{23}H_{28}P_2Si$ 394,481 g/mol 293(2) K 0,71069 Å monoklin $P2_1/n$ a = 9,631(1) Å b = 25,633(1) Å c = 9,642(1) Å $a = 90^{\circ}$ $\beta = 110,45(1)^{\circ}$ $\gamma = 90^{\circ}$	$C_{30}H_{69}Li_3P_6Si_3$ 828,843 g/mol 210 K 0.71069 Å triklin $P\bar{1}$ a=13,423(1) Å b=13,491(2) Å c=15,477(1) Å $\alpha=79,38(1)^{\circ}$ $\beta=86,16(1)^{\circ}$ $\gamma=62,744(1)^{\circ}$
Zellvolumen Formeleinheiten pro Zelle (Z)	1913,8(3) Å ³	2230,3(3) Å ³	2448,3(5) Å ³
Berechnete Dichte	1,281 g/cm ³	1,175 g/cm ³	$1,124 \text{ g/cm}^3$
Absorptionskoeffizient	0.718 mm^{-1}	0.253 mm^{-1}	0.318 mm^{-1}
F(000)	776	840	888
Gemessener θ -Bereich	2,62 bis 26,99°	3,02 bis 24,96°	3,05 bis 25,98°
Indexbereich	$-21 \le h \le 19$	$-11 \le h \le 10$	$-14 \le h \le 16$
	$-10 \le k \le 1$	$-14 \le k \le 30$	$0 \le k \le 16$
	$-7 \le l \le 19$	$0 \le l \le 11$	$-18 \le l \le 19$
Gemessene Reflexe	4298	4265	9785
Unabhängige Reflexe	$4146 (R_{\rm int} = 0.0103)$	$3886 (R_{int} = 0.0111)$	9503 ($R_{\rm int} = 0.0103$)
Beobachtete Reflexe	3583 mit $F_0 > 4\sigma(F_0)$	$3049 \text{ mit } F_0 > 4 \sigma(F_0)$	6097 mit $F_0 > 4\sigma(F_0)$
Strukturverfeinerung	Full-matrix Least-Squares an F ²	Full-matrix Least-Squares an F ²	Full-matrix Least-Squares an F ²
Restraints	0	0	0
Parameter	258	347	721
Goodness-of-Fit an F ²	1.110	1.108	1.075
Endgültige <i>R</i> -Werte $[F_{o} > 4\sigma(F_{o})]$	R1 = 0.0613, wR2 = 0.1570	R1 = 0.0752, wR2 = 0.1665	R1 = 0.0719, wR2 = 0.1674
R-Werte (sämtliche Daten)	$R1 = 0.0741, wR_2 = 0.1855$	R1 = 0.1004, wR2 = 0.1960	$R1 = 0.1279, wR_2 = 0.2083$
Restelektronendichte	0.936, -0.483 e/Å ³	$0,765, -0,361 \text{ e/Å}^3$	$0.821, -0.384 \text{ e/Å}^3$
Q_{\max}, Q_{\min}			

Tab. IIIb. Kristalldaten und Strukturverfeinerung für 7, 9 und 10.

Summenformel Molmasse Temperatur Wellenlänge Kristallsystem	C ₁₉ H ₃₉ LiN ₂ P ₂ Si 392,491 g/mol 298(2) K 0,71069 Å monoklin P2 ₁ /n	C ₂₀ H ₅₄ P ₂ Si ₅ 497,021 g/mol 293(2) K 0,71069 Å monoklin P2 ₁ /n	C ₁₈ H ₄₈ Cl ₂ P ₂ Si ₅ 537,851 g/mol 296(2) K 0,71069 Å monoklin P ₂₁ /n
Raumgruppe Zelldimensionen	A = 19.954(1) Å A = 19.954(1) Å A = 19.954(1) Å A = 19.954(1) Å $A = 117.54(1)^{\circ}$ $A = 117.54(1)^{\circ}$ $A = 117.54(1)^{\circ}$ $A = 117.54(1)^{\circ}$ $A = 117.54(1)^{\circ}$	a = 15,213(1) Å b = 9,290(1) Å c = 22,225(2) Å $a = 90^{\circ}$ $\beta = 92,73(1)^{\circ}$ $\gamma = 90^{\circ}$	A = 15.302(3) Å A = 15.302(3) Å A = 9.065(2) Å A = 22.678(5) Å $A = 90^{\circ}$ $A = 102.34(3)^{\circ}$ $A = 90^{\circ}$
Zellvolumen Formeleinheiten pro Zelle (Z)	5151,3(5) Å ³	3137,5(5) Å ³	3073,0(9) Å ³
Berechnete Dichte	$1,012 \text{ g/cm}^3$	$1,052 \text{ g/cm}^3$	$1,163 \text{ g/cm}^3$
Absorptionskoeffizient	0,220 mm ⁻¹	0.336 mm^{-1}	0.516 mm^{-1}
F(000)	1712	1096	1160
Gemessener θ -Bereich	3,03 bis 24,95°	3,00 bis 25,93°	3,04 bis 25,93°
Indexbereich	$-23 \le h \le 20$	$-18 \le h \le 18$	$-18 \le h \le 18$
	$0 \le k \le 17$	$0 \le k \le 11$	$0 \le k \le 11$
	$0 \le l \le 23$	$0 \le l \le 27$	$0 \le l \le 27$
Gemessene Reflexe	9264	6269	5971
Unabhängige Reflexe	$8997 (R_{\text{int}} = 0.0555)$	$6116 (R_{\text{int}} = 0.0405)$	$5969 (R_{\text{int}} = 0.0000)$
Beobachtete Reflexe	3408 mit $F_0 > 4 \sigma(F_0)$	4212 mit $F_0 > 4\sigma(F_0)$	4833 mit $F_0 > 4\sigma(F_0)$
Strukturverfeinerung	Full-matrix Least-Squares an F ²	Full-matrix Least-Squares an F ²	Full-matrix Least-Squares an F ²
Restraints	0	0	0
Parameter	460	262	260
Goodness-of-Fit an F ²	0,976	1,016	1,039
Endgültige <i>R</i> -Werte $[F_0 > 4\sigma(F_0)]$	R1 = 0,0709, wR2 = 0,1737	R1 = 0.0745, wR2 = 0.2000	R1 = 0.0411, wR2 = 0.1091
R-Werte (sämtliche Daten)	R1 = 0.2549, $wR2 = 0.2473$	R1 = 0.1162, wR2 = 0.2452	$R1 = 0.0560, wR_2 = 0.1189$
Restelektronendichte Q _{max} , Q _{min}	$0,585, -0,437 \text{ e/Å}^3$	$1,986, -0,576 \text{ e/Å}^3$	$0,709, -0,318 \text{ e/Å}^3$
C max; C mm			

Messungen 85-proz. Phosphorsäure als externer Standard verwendet. Abgesehen von den ¹H-Messungen wurden alle Heterokerne breitbandentkoppelt vermessen. Sternchen (*) weisen auf diastereotope Methylgruppen hin. Die Ausgangsverbindungen LiCH(PMe₂)₂ (1) und {Li[C(PMe₂)(SiMe₃)₂]}₂·TMEDA (2) [10] wurden nach Literaturvorschriften erhalten.

Allgemeine Arbeitsvorschrift

Zu einer Lösung der jeweiligen Phosphinomethanide in 30 ml Diethylether wird bei $-78\,^{\circ}$ C die entsprechende Menge des jeweiligen Chlorsilans zugegeben. Unter Rühren wird langsam auf Raumtemperatur erwärmt (2 h), danach das Lösungsmittel durch Pentan ersetzt und vom unlöslichen Niederschlag abfiltriert. Nach Entfernen des Lösungsmittels wird der verbleibende Rückstand im Vakuum getrocknet.

a) Umsetzung von 1 mit SiCl₄

Ansatzgröße: 0.39 ml (3.36 mmol) SiCl₄ und 1.06 g (7.46 mmol) **1.** – Gesamtausbeute: 1.20 g (96%) (farbloser Feststoff).

Elementaranalyse: C₁₀H₂₆Cl₂P₄Si Ber. C 29,16 H 5,71%, Gef. C 28.46 H 6.05%.

 ${}^{1}H{}^{31}P\text{-NMR}$ (270 MHz, Toluol-d₈, 25 °C): $\delta P = -44,48$ (s). $-{}^{1}H{}^{31}P\text{-NMR}$ (270 MHz, Toluol-d₈, -100 °C): $\delta P = -36,94$ (br), $\delta P = -44,24$ (br). $-{}^{1}H{}^{29}\text{Si-NMR}$ (400 MHz, Toluol-d₈, 25 °C): $\delta Si = 19,30$ (quin; ${}^{2}J(SiP) = 12,0$ Hz). $-{}^{1}H{}^{13}\text{C-NMR}$ (270 MHz, Toluol-d₈, 25 °C): $\delta PMe_2 = 13,22$ (m; diastereotope Methylgruppen, nicht aufgelöst), $\delta CH = 25,19$ (tt; ${}^{1}J(CP) = 46,9$ Hz, ${}^{3}J(CP) = 5,9$ Hz). $-{}^{1}H\text{-NMR}$ (100 MHz, Toluol-d₈, 25 °C): $\delta CH = 0,95$ (t; ${}^{2}J(HP) = 1,4$ Hz; 2H), $\delta PMe_2 = 1,29$ ("t"; N = 7,9 Hz, 24H; diastereotope Methylgruppen, nicht aufgelöst). – MS (EI, 70 eV, 90 °C): 354 u (2 Cl; M⁺-15), 233 u (2 Cl, Cl₂Si[CH(PMe₂)₂]).

b) Umsetzung von 1 mit PhMe2SiCl

Ansatzgröße: 1,52 g (9,17 mmol) PhMe₂SiCl und 1,30 g (9,17 mmol) **1.** – Gesamtausbeute: 1,70 g (68,8% d. Th.) (farblose Flüssigkeit). – ${}^{1}H{}^{31}P$ -NMR (270 MHz, C_6D_6 , 25 °C): $\delta P = -42,96$ (s). – ${}^{1}H{}^{29}Si$ -NMR (400 MHz, C_6D_6 , 25 °C): $\delta Si = -4,20$ (t; ${}^{2}J(SiP) = 8,4$ Hz). – ${}^{1}H{}^{13}C$ -NMR (270 MHz, C_6D_6 , 25 °C): $\delta SiMe_2 = 0,18$ (t; ${}^{3}J(CP) = 5,5$ Hz), $\delta PMe_2^* = 14,75$ ("d"; N = 5,0 Hz), $\delta PMe_2^* = 15,22$ ("q"; N = 10,5 Hz), $\delta CH = 23,39$ (t; ${}^{1}J(CP) = 41,9$ Hz), $\delta C_{3/5} = 10,000$

127,94 (s), $\delta C_4 = 129,21$ (s), $\delta C_{2/6} = 134,43$ (s), $\delta C_1 = 140,18$ (t; ${}^3J(\text{CP}) = 2,8\,\text{Hz}$). ${}^-1\text{H-NMR}$ (100 MHz, C_6D_6 , 25 °C): $\delta \text{SiMe}_2 = 0,41$ (s; 6H), $\delta \text{CH} = 0,54$ (t; ${}^2J(\text{HP}) = 2,1\,\text{Hz}$; 1H), $\delta \text{PMe}_2 = 0,96$ ("t"; N = 5,9 Hz; 12H, diastereotope Methylgruppen, nicht aufgelöst), $\delta \text{Ph} = 7,16-7,50$ (br; 5H).

c) Umsetzung von 1 mit Ph₃SiCl

Ansatzgröße: 1.0 g (3,40 mmol) Ph₃SiCl und 0,49 g (3,40 mmol) **1.** – Gesamtausbeute: 1,27 g (94,5% d. Th.) (farbloser Feststoff).

Elementaranalyse: C₂₃H₂₈P₂Si Ber. C 70,02 H 7,15%, Gef. C 70,77 H 7,08%.

 ${}^{1}H{}^{31}P\text{-NMR}$ (270 MHz, C_6D_6 , 25 °C): $\delta P = -40.93$ (s). $-{}^{1}H{}^{29}\text{Si-NMR}$ (400 MHz, C_6D_6 , 25 °C): $\delta Si = -13.36$ (t; ${}^{2}J(SiP) = 7.6$ Hz). $-{}^{1}H{}^{13}\text{C-NMR}$ (270 MHz, C_6D_6 , 25 °C): $\delta PMe_2* = 16.06$ (,,q"; N = 11,6 Hz), $\delta PMe_2* = 16.32$ (,,q"; N = 6,6 Hz), $\delta CH = 22.92$ (t; ${}^{1}J(CP) = 44.9$ Hz), $\delta C_4 = 128.00$ (s); $\delta C_{3/5} = 129.68$ (s), $\delta C_1 = 136.22$ (t; ${}^{3}J(CP) = 1.6$ Hz), $\delta C_{2/6} = 137.02$ (t; ${}^{4}J(CP) = 2.8$ Hz). $-{}^{1}H\text{-NMR}$ (270 MHz, C_6D_6 , 25 °C): $\delta PMe_2* = 0.76$ (,,t"; N = 4.4 Hz; 6 H), $\delta PMe_2* = 1.09$ (,,t"; N = 5.4 Hz; 6 H), $\delta CH = 1.50$ (t; ${}^{2}J(HP) = 1.5$ Hz, 1 H), $\delta Ph = 7.55 - 7.88$ (br; 15 H). - MS (CI, 150 eV, 160 °C): $M^+ = 395$ u (5+1 H), 333 u (Ph_3Si - $CH(PMe_2)$), 259 u (Ph_3Si).

d) Darstellung von 6

Zu 4,90 g (18,12 mmol) CH(PMe₂)₂(SiMe₂Ph) (4) werden 11,15 ml *n*-BuLi/Hexan-Lösung (1,625 n) (18,12 mmol) bei -78 °C zupipettiert. Die Reaktionsmischung wird langsam auf Raumtemperatur erwärmt. Während drei Tagen Reaktionszeit scheiden sich aus der Lösung farblose Kristalle ab, von denen das überstehende Lösungsmittel abdekantiert wird. Ausbeute: 4,47 g (89,3%), Schmp.: 283 °C.

Elementaranalyse: $C_{39}H_{69}Li_3P_6Si_3$ Ber. C 56,51 H 8,39%, Gef. C 55,49 H 8,51%.

 $δSiMe_2 = 5,95$ (s), $δPMe_2 = 22,35$ ("t"; N = 15,4 Hz), $δC_{3/5} = 127,18$ (s), $δC_4 = 127,24$ (s), $δC_{2/6} = 135,12$ (s); $δC_1 = 149,48$ (s). – ¹H-NMR (270 MHz, Toluol-d₈, 25 °C): $δSiMe_2 = 0,73$ (s; 6H), $δPMe_2 = 1,38$ (br; 12 H), δPh = 7,19-7,76 (br; 5 H). – MS (EI, 70 eV, 110 °C): $M^+ = 270$ u (PhMe₂Si[CH(PMe₂)₂]), 209 u ((PhMe₂Si)C(PMe₂)), 135 u ((PMe₂)₂C).

e) Darstellung von 7

Zu einer Lösung von 2,06 g (2,48 mmol) **6** in 40 ml Toluol werden 1,11 ml (7,46 mmol) TMEDA zugegeben und 5 h bei +60 °C gerührt. Danach wird das Lösungsmittel langsam aus dem Reaktionsgefäß durch Kondensation entfernt und es verbleiben farblose Kristalle. – Gesamtausbeute: 2,87 g (97,9%) (farblose Kristalle). – $\{^1H\}^{31}P$ -NMR (270 MHz, C_6D_6 , 25 °C): $\delta P = -26,30$ (q; $^1J(PLi) = 55,6$ Hz).

f) Darstellung von 8a

Zu einer Lösung von 3,13 g (10,62 mmol) **5** in 30 ml Toluol wird die äquimolare Menge an TMEDA (1,58 ml; 10,62 mmol) und die einer "BuLi/Hexan-Lösung bei -78 °C zugegeben. Die Reaktionsmischung wird langsam auf R.T. erwärmt. Während drei Tagen Reaktionszeit scheiden sich hellgelbe Kristalle ab. Danach wird das Lösungsmittel abdekantiert, zweimal mit Toluol gewaschen und getrocknet. – Gesamtausbeute: 4,38 g (98,1%) (hellgelbe Kristalle). – $[^1H]^{31}$ P-NMR (270 MHz, C_6D_6 , 25 °C): $\delta P = -23,37$ (q; $^1J(PLi) = 55,6$ Hz). – 1H -NMR (270 MHz, C_6D_6 , 25 °C): $\delta PMe_2 = 1,19$ (s; 12 H), $\delta NCH_2 = 1,79$ (s; 4 H), $\delta NMe_2 = 1,89$ (s; 12 H), $\delta Ph = 7,16-8,31$ (15 H).

g) Umsetzung von 2 mit Me₂SiCl₂

Ansatzgröße: $0.18 \text{ ml } (1.47 \text{ mmol}) \text{ Me}_2 \text{SiCl}_2 \text{ und } 0.92 \text{ g} (2.94 \text{ mmol})$ **2.** – Gesamtausbeute: 0.72 g (98.6% d. Th.) (farbloser Feststoff).

Elementaranalyse: C₂₀H₅₄P₂Si₅ Ber. C 48,33 H 10,95%, Gef. C 47,58 H 10,21%.

 ${}^{1}H{}^{31}P-NMR$ (270 MHz, Toluol-d₈, 25 °C): $\delta P_A = -9.81 \text{ (d; } ^3J(PP) = 4.3 \text{ Hz}), \ \delta P_B = -27.64$ $(d; {}^{3}J(PP) = 4,3 Hz). - {}^{1}H{}^{29}Si (400 MHz, Toluol$ d_8 , 25 °C): δ SiMe₃ = 0,18 (dd; 2J (SiP_B) = 4,4 Hz, $^{3}J(SiP_{A}) = 2.4 \text{ Hz}$, $\delta SiMe_{2} = -2.99 \text{ (dd; }^{1}J(SiP_{A}) =$ 73.9 Hz, ${}^2J(\text{SiP}_{\text{B}}) = 8.8 \text{ Hz}$), $\delta \text{SiMe}_3 = -8.19 \text{ (d;}$ $^{2}J(SiP_{A}) = 6.4 \text{ Hz}. - \{^{1}H\}^{13}\text{C-NMR} (270 \text{ MHz},$ Toluol-d₈, 25 °C): δ SiMe₃ = 6,00 (d; ${}^{3}J(CP)$ = 3,9 Hz), δ SiMe₃ = 8,01 (d; $^{3}J(CP)$ = 3,4 Hz), $\delta \text{SiMe}_2 = 1.30 \text{ (dd; } {}^2J(\text{CP}) = 15.1 \text{ Hz, } {}^3J(\text{CP}) =$ 9,4 Hz), $\delta P_B Me_2 = 16,42$ (d; ${}^{1}J(CP) = 23,2$ Hz), $\delta P_A Me_2 = 21.95 \text{ (dd; } {}^{1}J(CP) = 40.6 \text{ Hz, } {}^{4}J(CP) =$ 8,5 Hz). - ¹H-NMR (270 MHz, Toluol-d₈, 25 °C): $\delta SiMe_3 = 0.36$ (s; 9H), $\delta SiMe_3 = 0.58$ (s; 9H), $\delta \text{SiMe}_2 = 0.73 \text{ (d; }^3J(\text{HP}) = 7.9 \text{ Hz; } 6\text{ H}), \delta P_B Me_2 =$ 1,30 (d; ${}^{2}J(HP) = 5.8 \text{ Hz}; 6H), \delta P_{A}Me_{2} = 1.74 \text{ (d;}$ $^{2}J(HP) = 10.7 \text{ Hz}; 6 \text{ H}). - MS (EI, 70 \text{ eV}, 150 ^{\circ}C):$ $482 \text{ u } (M^+-15), 219 \text{ u } (Me_2Si[C(PMe_2)(SiMe_3)_2]).$

h) Umsetzung von 2 mit SiCl₄

Ansatzgröße: 0,23 ml (2,07 mmol) SiCl₄ und 1,24 g (4,35 mmol) **2.** – Gesamtausbeute: 0,69 g (90,8% d. Th.) (farbloser Feststoff).

 $\begin{array}{cccc} Elementaranalyse: & C_{18}H_{48}Cl_2P_2Si_5\\ & Ber. & C~40,22 & H~8,93\%,\\ & Gef. & C~39,35 & H~8,14\%. \end{array}$

- [1] H. H. Karsch, Russ. Chem. Bull. 42, 1937 (1993).
- [2] H. H. Karsch, A. Appelt, Z. Naturforsch. **38b**, 1399 (1983)
- [3] H. H. Karsch, R. Richter, A. Schier, Z. Naturforsch. **48b**, 1533 (1993).
- [4] C. Chuit, R. J. P. Corriu, C. Reye, J. C. Young, Chem. Rev. 93, 1371 (1993).
- [5] H. H. Karsch, U. Keller, S. Gamper, G. Müller, Angew. Chem. 102, 297 (1990).
- [6] H. H. Karsch, U. Keller, B. Deubelly, in Vorbereitung.
- [7] H. H. Karsch, R. Richter, M. Paul, J. Riede, J. Organomet. Chem. 474, C1 (1994).
- [8] H. H. Karsch, A. Appelt, G. Müller, Organometallics 5, 166 (1986).
- [9] H. H. Karsch, A. Appelt, G. Hanika, J. Organomet. Chem. 312, C1 (1986).
- [10] H. H. Karsch, A. Appelt, B. Deubelly, K. Zellner, J. Riede, G. Müller, Z. Naturforsch. 43b, 1416 (1988).
- [11] H. H. Karsch, G. Grauvogl, (1992), unveröffentlicht.
- [12] H. H. Karsch, K. Zellner, P. Mikulcik, J. Lachmann, G. Müller, Organometallics 9, 190 (1990).
- [13] H. H. Karsch, L. Weber, D. Wewers, R. Boese, G. Müller, Z. Naturforsch. 39b, 1518 (1984).
- [14] a) H. Schmidbaur, Angew. Chem. 97, 893 (1985);
 b) J. J. Brooks, G. D. Stucky, J. Am. Chem. Soc. 94, 7333 (1972);

- c) C. Eaborn, P. B. Hitchcock, J. D. Smith, A. C. Sullivan, J. Chem. Soc., Chem. Commun. **1983**, 1390; d) A. Sygula, P. Rabideau, J. Am. Chem. Soc. **113**, 7797 (1991).
- [15] R. Hirsch, R. W. Hoffmann, Chem. Ber. 125, 975 (1992), zit. Lit.
- [16] a) D. J. Brauer, S. Hietkamp, O. Stelzer, J. Organomet. Chem. **299**, 137 (1986);
 - b) H. H. Karsch, B. Deubelly, G. Müller, J. Organomet. Chem. **352**, 47 (1988);
 - c) H. H. Karsch, G. Grauvogl, P. Mikulcik, P. Bissinger, G. Müller, J. Organomet. Chem. **565**, 65 (1994).
- [17] a) J. Kopf, H.-C. Rübcke, Program CADSHEL, Version 3.1 (1993), Universität Hamburg;
 - b) N. Walker, D. Stuart, Acta Crystallogr. A 39, 158 (1993); N. Walker, Program DIFABS, Version 9.0 (1993), BASF AG:
 - c) G. M. Sheldrick, Program SHELXS-86, Universität Göttingen; G. M. Sheldrick, in G. M. Sheldrick, C. Krüger und R. Goddard (eds): Crystallographic Computing 3, Oxford University Press, 175 (1985); d) G. M. Sheldrick, Program SHELXL-93, University
 - tät Göttingen; G. M. Sheldrick, J. Appl. Crystallogr., im Druck;
 - e) Program Package SHELXTL-PLUS, Release 4.1, (1990), Siemens Analytical X-Ray Instruments, Inc., Madison, WI 53719, USA.